

УДК 564.5:551:736.3(55)

## НОВЫЕ ВИДЫ ДЖУЛЬФИНСКИХ (ПОЗДНЕПЕРМСКИХ) АММОНОИДЕЙ ИЗ ФОРМАЦИИ ХАМБАСТ ЦЕНТРАЛЬНОГО ИРАНА

© 2010 г. Ю. Д. Захаров\*, Н. Моусави Абнави\*\*, М. Язди\*\*, М. Гхаэди\*\*

\*Дальневосточный геологический институт ДВО РАН, Владивосток

e-mail: yurizakh@mail.ru

\*\*Исфаханский университет, отдел геологии, Исфахан, Иран

e-mail: nm\_geologist80@yahoo.com

Поступила в редакцию 23.10.2009 г.

Принята к печати 16.11.2009 г.

Из раннеджульфинских (раннеушапинских) отложений формации Хамбаст Центрального Ирана (Абаде) описаны новые виды аммоноидей рода *Araaxoceras*: *A. abarquense* sp. nov. и *A. iranense* sp. nov. Получены новые данные по распространению *Paraceltites* (*Paraceltites* sp.) и *Vediceras* (*V. umbonovaram* Ruzhencov), впервые обнаруженных в джульфинских отложениях Абаде, а также *Eoaraxoceras*. Уточнена корреляция позднепермских комплексов аммоноидей Ирана и Закавказья.

Основные сведения по позднепермским сукцессиям аммоноидей, как известно, были получены по трем регионам мира: Закавказью (Abich, 1878; Möller, 1879; Frech, Arthaber, 1900; Stoyanov, 1910; Руженцев, 1959, 1962, 1963; Руженцев, Шевырев, 1965; Шевырев, 1965, 1968; Котляр и др., 1983, 1989; Захаров, 1983, 1985; Zakharov, 1986, 1992; Захаров, Рыбалка, 1987), Южному Китаю (Chao, 1965; Zhao et al., 1978) и Ирану (Bando, 1973, 1979; Teichert et al., 1973; Taraz et al., 1981; Zhou et al., 1989). В связи с этим понятен интерес, проявляемый исследователями к поступлению новых данных по верхней перми из этих регионов.

Целью настоящей работы является описание новых видов джульфинских аммоноидей по материалу из формации Хамбаст Центрального Ирана (район Абаде) (рис. 1) и обсуждение данных, касающихся таксономического разнообразия позднепермских аммоноидей Ирана и Закавказья, и их филогенетических связей.

Изображенный материал хранится в Дальневосточном геологическом институте (ДВГИ) ДВО РАН, Владивосток, под № 890.

### ВЕРХНЯЯ ПЕРМЬ АБАДЕ

Согласно существующим представлениям (Bando, 1979; Taraz et al., 1981; Korte et al., 2004), джульфинский региоярус в Абаде, соответствующий в значительной мере ушапинскому ярусу верхней перми, представлен в нижней своей части пачкой 5 (конодонтовые зоны *Clarkina piumuzhyangensis* и *C. leveni* (нижняя часть) формации Абаде). В средней своей части он сложен пачкой 6 (конодонтовая зона *C. leveni* (средняя часть: Korte

et al., 2004) формации Хамбаст). Верхняя часть джульфинского региояруса представлена в Абаде нижней частью пачки 7 (конодонтовые зоны *C. transcaucasica* и *C. orientalis*-*C. mediconstricta* формации Хамбаст).

Верхняя часть пачки 5 (около 15 м), соответствующая зоне *Pseudodunbarula arpaensis*-*Araxilevis intermedius* джульфинского региояруса Закавказья (Котляр и др., 1963, 1989), сложена преимущественно известняками и мергельными глинами (Taraz et al., 1981; Korte et al., 2004). Пачка 6 (около 13 м), соответствующая значительной части зоны *Araaxoceras latissimum* Закавказья (Котляр и др.,

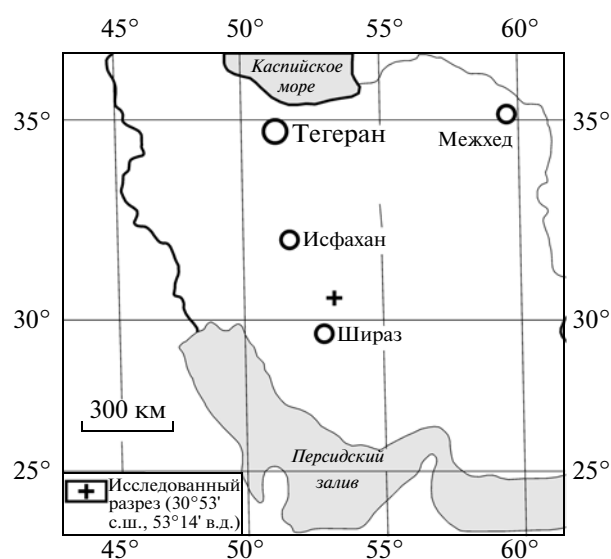


Рис. 1. Местонахождение исследованных аммоноидей района Хамбаст (Центральный Иран).

1983), представлена известняками, мергельными известняками и аргиллитами (Taraz et al., 1981; Korte et al., 2004). Нижняя часть пачки 7 (около 16.5 м), сопоставляемая преимущественно с зоной *Vediceras ventrosulcatum* Закавказья (табл. 1), сложена мергельными глинами в нижней части рассматриваемого интервала и известняками в его верхней части (Korte et al., 2004). Общая мощность отложений джульфинского регионаряуса в разрезе Абаде не превышает 44.5 м.

Дорашамский регионаряус, соответствующий в значительной мере чансинскому ярусу, представлен в Центральном Иране верхней частью формации Хамбаст (конодонтовые зоны *Clarkina subcarinata*, *C. changxingensis*—*C. deflecta*, *C. yini*—*C. zhangi* и *C. iranica* верхней части пачки 7) и базальными слоями формации Элика (конодонтовые зоны *C. hauschkei*, *C. meishanensis*—*Hindeodus praevarvus*) (Korte et al., 2004). Сведения по конодонтам нижней зоны дорашамского регионаряуса как Закавказья (зона *Phisonites triangulus*), так и Ирана в настоящее время отсутствуют. Нижняя часть дорашамского регионаряуса в разрезе Абаде сложена известняками и мергельными известняками, верхняя—преимущественно мергельными и строматолитовыми известняками и алевроаргиллитами. Общая мощность отложений дорашамского регионаряуса в Центральном Иране около 7 м (Korte et al., 2004). Последние перекрываются раннетриасовыми отложениями, охарактеризованными аммоноидеями (Tozer, 1972; Bando, 1979) и конодонтами зон *Hindeodus parvus*, *Isarcicella isarcica*, *Hindeodus postparvus* и *Neospathodus dieneri* (Kozur et al., 1975; Korte et al., 2004).

#### ДЖУЛЬФИНСКИЕ АММОНОИДЕИ АБАДЕ

В отличие от разрезов Закавказья, разрез Абаде характеризуется присутствием джульфинских аммоноидей только в пределах интервала, соответствующего зонам *Arahaoceras latissimum* и *Vediceras ventrosulcatum* Закавказья (пачки 6 и 7 (нижняя часть) формации Хамбаст общей мощностью не более 39.5 м). В подстилающих слоях, соответствующих зоне *Pseudodunbarula agraensis*—*Araxilevis intermedius* Закавказья (рис. 2), аммоноидеи в Иране не обнаружены.

Исследованная коллекция позднепермских аммоноидей из Ирана была собрана Н. Моусави Абнави, М. Язди и М. Гхаэди в районе Хамбаст, в 28 км юго-юго-западнее с. Абарку ( $30^{\circ}53' \text{ с.ш.}$  и  $53^{\circ}14' \text{ в.д.}$ ), в пределах нижнего 26-метрового интервала формации Хамбаст. Основное внимание удалено результатам изучения двух новых видов рода *Arahaoceras* (табл. I, фиг. 3–5, см. вклейку), обнаруженных в пределах конодонтовой зоны *Clarkina leveni* (Korte et al., 2004), в 8.5 м выше подошвы пачки 6. Примерно на этом же стратиграфи-

ческом уровне был встречен цератит *Eoarachoceras* sp. (табл. I, фиг. 2), являющийся, возможно, новым видом, поскольку отличается от известных представителей *Eoarachoceras* из Мексики (Spinoza et al., 1970) и Центрального Ирана (Bando, 1979) некоторыми деталями строения лопастной линии (рис. 2, в). Заслуживает внимания также *Paraceltites* sp. (табл. I, фиг. 1; рис. 2, а, б), обнаруженный в пределах конодонтовой зоны *C. transcaucasica* (Korte et al., 2004), в 21–22 м выше подошвы пачки 6. По-видимому, в интервале этой зоны впервые для Ирана нами был обнаружен *Vediceras umbonovarum* Ruzhencev (табл. I, фиг. 6; рис. 2, ж), который до сих пор был известен только в Закавказье.

#### ЗАКЛЮЧЕНИЕ

Согласно представлениям К. Спинозы (Spinoza et al., 1975), *Paraceltites* является предковым для рода *Cibolites*, из которого, вероятно, произошли представители семейства *Xenodiscidae* и надсемейства *Otoceratoidea* (рис. 3). Вопрос о продолжительности существования рода *Paraceltites* до настоящего времени остается дискуссионным (Spinoza et al., 1975; Богословская и др., 1999; Zhou et al., 1999). Нахodka *Paraceltites* sp. в джульфинском регионаряусе Абаде свидетельствует в пользу представления о существовании этого рода как в средней, так и начале поздней перми.

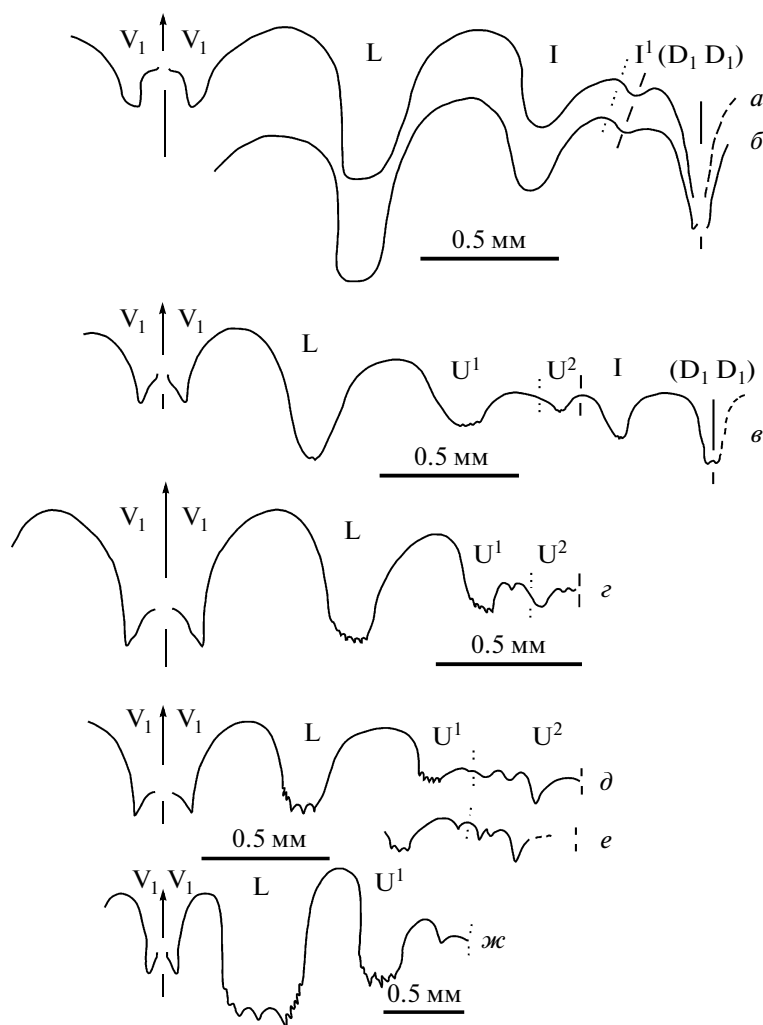
Джульфинский (ушапинский) комплекс аммоноидей Центрального Ирана отличается от закавказского несколько меньшим разнообразием (число джульфинских видов аммоноидей в Центральном Иране, с учетом новых данных, около 30, в Закавказье – 37; из них девять видов являются общими для этих районов). Из малоизученных джульфинских аммоноидей Северного Ирана в настоящее время известен только *Timorites* sp. (Zhou et al., 1989), отличающийся, по нашим представлениям, от известных циклобид Закавказья (“*Gothaabites*” ruzhencevi Zakharov). Судя по литературным данным (Bando, 1979), дорашамский (чансинский) комплекс аммоноидей Центрального Ирана в значительной мере представлен закавказскими видами. Дорашамский комплекс аммоноидей Северного Ирана (Teichert et al., 1973) состоит исключительно из закавказских видов. Все это свидетельствует, по-видимому, о постепенном усилении связи между морями Закавказья и Ирана в течение позднепермского времени.

\* \* \*

Работа выполнена при частичной поддержке гранта РФФИ (проект № 09-05-98524-Р\_восток\_a).

**Таблица 1.** Схема распространения джульфинских и дорашамских (зона *Phisonites triangulus*) аммоидей Закавказья и Центрального Ирана. Сокращения: дораш. — дорашамский, аммонит. зона — аммонитовая зона, конодонт. зона — конодонтовая зона, в. ч. — верхняя часть, Ps.-Araxil. — *Pseudodunbarula arpaensis*—*Araxilevis intermedius*, *Phis. triang.* — *Phisonites triangulus*, Cl. tr. — *Clarkina transcaucasica*, Cl. or. — *Clarkina orientalis*, Cl. in. — *Clarkina inflecta*

Регионрус	Джульфинский				Дораш.
Аммонит. зона	Ps.-Araxil.	Araxoceras latissimum		Vedioceras ventrosulcat.	<i>Phis. triang.</i>
Конодонт. зона	Clarkina leveni		Cl. tr.	Cl. or.	Cl. in.
	Pseudogastriceras abchianum				—
<b>Закавказье</b>  (Руженцев, 1962, 1963; Руженцев, Шевырев, 1965; Шевырев, 1965; Котляр и др., 1983; Захаров et al., 2005)	Eumedlicottia stoyanovi Neoganides sp. Strigogoniatites sp. Adrianites kotlyarae Kingoceras achurensis				Vescotoceras parallelum
	Vescotoceras acutum Vescotoceras evanidum Vescotoceras serratum Vescotoceras pessoides Araxocers rotoides Araxocers latum				—
	Araxocers glenisteri Araxocers latissimum				Araxocers tectum
	Araxocers varicatum Araxocers trochoides Rotaraxoceras caucasicum				Xenodiscus dorashamensis Xenodiscus araxensis <i>Phisonites triangularis</i>
	Prototoceras intermedium Prototoceras discoidale Prototoceras raddei Prototoceras fedoroffi				—
	“Godthaabites” ruzhencevi Urartoceras abchianum				—
	Pseudotoceras tropitum Avushoceras sp. indet.				—
	Pseudotoceras djoulfense Stacheites tchernyschewi				Pseudotoceras armenorum
	Prototoceras admirable Rotaraxoceras deruptum				Dzhoulfoceras furnishi Dzhoulfoceras paulum
	Dzhoulfoceras inflatum Avushoceras jakowlevi				—
	Vedioceras umbonovarum “Vedioceras” ventrosulcatum				—
	Vedioceras ventroplanum				—
Формация	Абаде	Хамбаст			
Пачка	5 (в. ч.)	6	7 (нижняя часть)		
Конодонт. зона	Clarkina leveni		Cl. tr.	Cl. or.	—
<b>Центральный Иран, Абаде</b>  (Bando, 1979; Taraz et al., 1981; Korte et al., 2004; с дополнениями)	Pseudogastriceras abchianum —Eoaraxoceras aff. ruzhencevi (=“E. ruzhencevi”) —Eoaraxoceras sp. —Araxoceras aff. rotoides —Araxoceras latum				Paraceltites sp.
	—Eumedlicottia matini —Araxoceras iranense sp. nov. —Araxoceras abarquense sp. nov.				—
	—Araxoceras glenisteri —Araxoceras tectum				?
	—“Vedioceras” sp.				Vedioceras umbonovarum
	—“Vedioceras” nakamurai				—
	—Araxoceras sp.				—
	—Vescotoceras actum				—
	—Vescotoceras evanidum				—
	—Vescotoceras parallelum				—
	—Vescotoceras sp.				—
	—Pseudotoceras djoulfense				—
	—Pseudotoceras sp.				—
	—Prototoceras compressum				—
	—Prototoceras sp.				—
	—Lanticoceras okimurai				Shevyrevites sp.
	—Xenodiscus dorashamensis				—
	—				?
	—				—
	—				—
	—				?
	—				—



**Рис. 2.** Лопастные линии: *a, б* – *Paraceltites* sp., экз. ДВГИ № 1/850: *a* – при  $B = 14.2$  мм, *б* –  $14.0$  мм; *в* – *Еоахаксерас* sp., экз. ДВГИ № 2/850, при  $B = 13$  мм; *г* – *Аракосерас абаркуненсис* sp. nov., голотип ДВГИ № 3/850, при  $B = 12.0$  мм; *д, е* – *Аракосерас ираненсис* sp. nov.: *д* – голотип ДВГИ № 4/850, при  $B = 8.0$  мм, *е* – экз. ДВГИ № 7/850, при  $B = 11.0$  мм; *ж* – *Ведиокерас умбоноварум* *Ruzhencev*, экз. ДВГИ № 6/850, при  $B = 17.0$  мм.

СИСТЕМАТИЧЕСКАЯ ЧАСТЬ  
О ТРЯД CERATITIDA  
ПОДОТРЯД OTOCERATINA  
НАДСЕМЕЙСТВО OTOCERATOIDEA HYATT, 1900

СЕМЕЙСТВО ARAXOCERATIDAE RUZHENCEV, 1959

Род *Araxoceras* *Ruzhencev*, 1959

*Araxoceras abarquense* *Zakharov et Mousavi Abnavi*, sp. nov.

Табл. I, фиг. 3

Название вида от села Абарку в Иране.

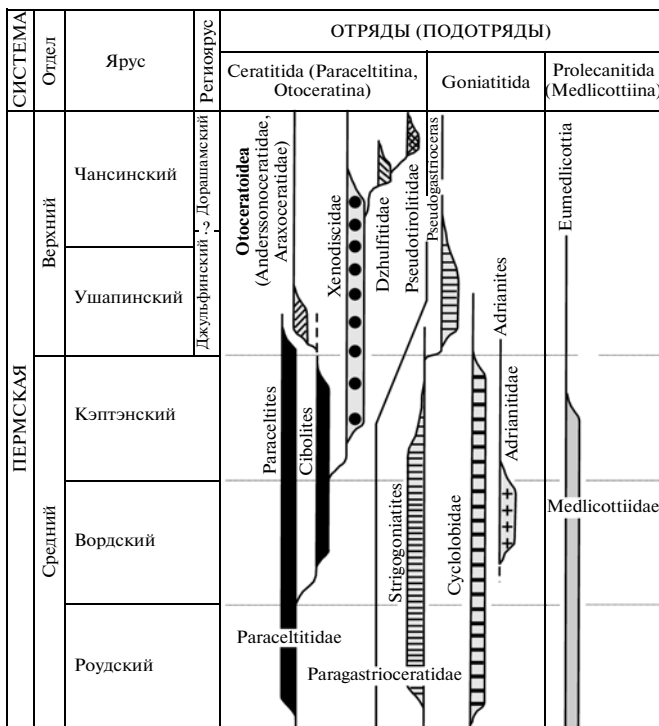
Голотип – ДВГИ, № 3/850; Хамбаст; ушапинский ярус (джульфинский региоярус), формация Хамбаст, пачка 6; конодонтовая зона *Clarkina leveni*.

Описание. Раковина толстодискоидальная, полуинволютная, с крышевидной вентральной стороной, имеющей отчетливо выраженный сре-

динный киль. Вентролатеральные перегибы отчетливо выраженные. Боковые стороны вогнутые, наибольшая ширина раковины приходится на умбрикальный перегиб. Умбрикус широкий, со значительно оттянутым краем и крутой стенкой.

Скульптура. На боковых сторонах заметны радиальные складки, несущие на умбрикальном перегибе отчетливо выраженные бугорки (до шести на наружном обороте) и затухающие у вентральных перегибов.

Лопастная линия (рис. 2, г). Вентральная лопасть (*V*) разделена низким срединным седлом на две клиновидные ветви. Боковая лопасть (*L*), зазубренная в основании, уже вентральной, но имеет почти такую же глубину. Первое боковое седло высокое и широкое, второе – заметно меньше первого. Первая умбрикальная



**Рис. 3.** Предполагаемые филогенетические связи семейств Paragastrioceratidae, Paraceltidae, Xenodiscidae, Dzhulfitiidae, Pseudotirolitidae и надсемейства Otoceroidea (на примере позднепермских аммоноидей Ирана и Закавказья).

лопасть ( $U^1$ ), зазубренная в основании, более чем вдвое короче и уже боковой. Вторая умбрикальная лопасть ( $U^2$ ) заметно меньше первой и не имеет зазубренности в основании; разделяющее их седло имеет неглубокий врез на вершине. Отрезок лопастной линии вблизи умбрикального шва имеет извилистое очертание.

#### Размеры в мм и отношения:

Экз. №	Д	В	Ш	Ду	В/Д	Ш/Д	Ду/Д
Голотип 3/850	29.2	14.9	15.0	7.0	0.51	0.51	0.24

**Сравнение.** Новый вид отличается от *A. go-*  
*toides* Ruzhencev наличием умбрикальных бугорков, более широкими боковыми седлами лопастной линии и некоторыми деталями приумбрикальной части лопастной линии.

**Материал.** Голотип.

#### *Araxoceras iranense* Zakharov et Mousavi Abnavi, sp. nov.

Табл. I, фиг. 4, 5

*Araxoceras rotoides*: Bando, 1979, с. 119 (табл. I, фиг. 2).

**Название вида от страны Иран.**

**Голотип – ДВГИ, № 4/850; Хамбаст; ушапинский ярус (джульфинский региоярус), формация Хамбаст, пачка 6, конодонтовая зона *Clarkina leveni*.**

**Описание.** Раковина толстодискоидальная, полуэволютивная, с крышевидной вентральной стороной, имеющей срединный киль. Вентролатеральные перегибы резко выраженные. Боковые стороны вогнутые, наибольшая ширина раковины приходится на умбрикальный перегиб. Умбрикус широкий, со значительно оттянутым краем и крутой стенкой.

**Скульптура.** Поверхность раковины гладкая.

**Лопастная линия** (рис. 2, *д–е*). Вентральная лопасть (*V*) разделена низким срединным седлом на две остроконечные ветви. Боковая лопасть (*L*), зазубренная в основании, несколько уже вентральной, но почти такой же глубины. Боковые седла широкие, но второе несколько ниже первого. Первая умбрикальная лопасть ( $U^1$ ) мелкая, зазубренная в основании; вторая ( $U^2$ ) – клиновидная. Отрезок лопастной линии между этими лопастями состоит из серии мелких элементов.

#### Размеры в мм и отношения:

Экз. №	Д	В	Ш	Ду	В/Д	Ш/Д	Ду/Д
5/850	38.6	17.1	19.0	13.6	0.44	0.49	0.35
Голотип 4/850	27.2	13.6	17.2	8.2	0.50	0.63	0.30

**Сравнение.** Новый вид отличается от *A. tectum* Ruzhencev большей эволютивностью раковины, отсутствием зазубренности в ветвях вен-

тральной лопасти и более сложным строением приумбиликальной части лопастной линии, от *A. rotoides* Ruzhencev – значительно большей эволюционностью раковины, более короткими и широкими боковыми седлами и более широкой боковой лопастью. От *A. abarquense* sp. nov. описываемый вид отличается несколько большей эволюционностью раковины, отсутствием приумбиликальных бугорков и иным строением приумбиликальной части лопастной линии.

**М а т е р и а л.** 2 экз. из типового местонахождения.

### СПИСОК ЛИТЕРАТУРЫ

- Богословская М.Ф., Кузина Л.Ф., Леонова Т.Б.* Классификация и распространение позднепалеозойских аммоноидей // Ископаемые цефалоподы: новейшие достижения в их изучении. М.: ПИН РАН, 1999. С. 89–124.
- Захаров Ю.Д.* Новые пермские циклолобиды (*Goniatitida*) юга СССР // Палеонтол. журн. 1983. № 1. С. 138–142.
- Захаров Ю.Д.* К вопросу о типе границы перми и триаса // Бюлл. Моск. об-ва испыт. прир. Отд. геол. 1985. Т. 60. Вып. 5. С. 59–70.
- Захаров Ю.Д., Рыбалка С.В.* Эталоны перми и триаса Тетиической области // Проблемы биостратиграфии перми и триаса востока СССР. Владивосток: ДВНЦ АН СССР, 1987. С. 6–48.
- Котляр Г.В., Захаров Ю.Д., Кочиркевич Б.В. и др.* Позднепермский этап эволюции органического мира. Джульфинский и дорашамский ярусы СССР. Л.: Наука, 1983. 199 с.
- Котляр Г.В., Захаров Ю.Д., Кропачева Г.С. и др.* Позднепермский этап эволюции органического мира. Мидийский ярус СССР. Л.: Наука, 1989. 185 с.
- Руженцев В.Е.* Классификация надсемейства *Otocerataceae* // Палеонтол. журн. 1959. № 2. С. 56–67.
- Руженцев В.Е.* Классификация семейства *Araxoceratidae* // Палеонтол. журн. 1962. № 4. С. 88–103.
- Руженцев В.Е.* Новые данные о семействе *Araxoceratidae* // Палеонтол. журн. 1963. № 3. С. 56–64.
- Руженцев В.Е., Шевырев А.А.* Надотряд Аммоноидеи // Развитие и смена морских организмов на рубеже палеозоя и мезозоя. М.: Наука, 1965. С. 47–57 (Тр. ПИН АН СССР. Т. 108).
- Шевырев А.А.* Ammonoidea // Развитие и смена морских организмов на рубеже палеозоя и мезозоя. М.: Наука, 1965. С. 166–182 (Тр. ПИН АН СССР. Т. 108).
- Шевырев А.А.* Триасовые аммоноиды юга СССР. М.: Наука, 1968. 272 с. (Тр. ПИН АН СССР. Т. 119).
- Abich H.W.* Geologische Forschungen in den kaukasischen Ländern. Th. 1. Eine Bergkalkfauna aus der Araxes-Enge bei Djoulfa in Armenien. Wien, 1878. 126 S.
- Bando Y.* On the Otoceratidae and Ophiceratidae // Sci. Rep. Tohoku Univ. 2 Ser. (Geol.). 1973. Spec. V. № 6. P. 337–351.
- Bando Y.* Upper Permian and Lower Triassic ammonoids from Abadeh, Central Iran // Mem. Fac. Educ. Kagawa Univ. 1979. Pt. 2. V. 29. № 2. P. 103–138.
- Chao Kingkoo.* The Permian ammonoid-bearing formations of South China // Sci. Sin. 1965. V. 14. № 12. P. 1813–1826.
- Frech F., Arhaber G.* Über das Paläozoicum in Hocharmenien und Persien. Mit einem Anhang über die Kreide von Sirab in Persien // Beitr. Paläontol. Geol. Öst.-Ung. Orients. 1900. Bd 12. № 4. S. 161–208.
- Korte C., Kozur H.W., Joachimski M.M. et al.* Carbon, sulfur, oxygen and strontium isotope records, organic geochemistry and biostratigraphy across the Permian / Triassic boundary in Abadeh, Iran // Intern. J. Earth Sci. 2004. V. 93. P. 65–581.
- Kozur H.W., Mostler H., Rahimi-Yazd A.* Beiträge zur Mikropaläontologie permotriadischer Schichtfolgen. Teil 2: Neue Conodonten aus dem Oberperm und der basalen Trias von Nord- und Zentraliran // Geol. Paläontol. Mitt. Innsbr. 1975. Bd 5. № 3. S. 1–23.
- Möller V.* Über die bathrologische Stellung des jüngeren paläozoischen Schichtensystems von Djoulfa in Armenien // N. Jb. Miner. Geol. Paläontol. 1879. S. 225–243.
- Spinoza C., Furnish W.M., Glenister B.F.* Araxoceratidae, Upper Permian ammonoids, from the Western Hemisphere // J. Paleontol. 1970. V. 44. № 4. P. 730–736.
- Spinoza C., Furnish W.M., Glenister B.F.* The Xenodiscidae, Permian ceratitoid ammonoids // J. Paleontol. 1975. V. 49. № 2. P. 239–283.
- Stoyanov A.A.* On the character of the boundary of Palaeozoic and Mesozoic near Djulfa // Зап. Петерб. минер. об-ва. Сеп. 2. 1910. Т. 47. Ч. 1. С. 61–135.
- Taraz H., Golshani F., Nakazawa K. et al.* The Permian and Lower Triassic systems in Abadeh region, Central Iran // Mem. Fac. Sci. Kyoto Univ. Ser. Geol. Miner. 1981. V. 47. № 2. P. 61–133.
- Teichert C., Kummel B., Sweet W.* Permian-Triassic strata, Kuh-E-Ali Bashi, Northwest Iran // Bull. Mus. Comp. Zool. 1973. V. 145. № 8. P. 359–472.
- Tozer E.T.* Triassic ammonoids and Daonella the Nakhla Group, Anarak region, Central Iran // Geol. Surv. Iran. 1972. № 28. P. 29–69.
- Zakharov Y.D.* Type and hypotype of the Permian-Triassic boundary // Mem. Soc. Geol. It. 1986. V. 34. P. 277–289.
- Zakharov Y.D.* The Permo-Triassic boundary in the southern and eastern USSR // Permo-Triassic events in the eastern Tethys. Stratigraphy, classification, and relations with the western Tethys. Cambridge: Univ. Press, 1992. P. 46–55.
- Zakharov Y.D.* Late Permian to Middle Triassic palaeogeographic differentiation of key ammonoid groups: evidence from the former USSR // Polar Res. 2008. V. 27. № 3. P. 441–468.
- Zakharov Y.D., Biakov A.S., Baud A., Kozur H.* Significance of Caucasian sections for working out carbon-isotope standard for Upper Permian and Lower Triassic (Induan) and their correlation with the Permian of North-Eastern Russia // J. China Univ. Geosci. 2005. V. 16. № 2. P. 141–151.
- Zhao J.K., Liang X.L., Sheng Z.G.* Late Permian cephalopods of South China // Palaeontol. Sin., N.S.B. 1978. № 12, P. 1–194.
- Zhou Z., Glenister B.F., Furnish W.M.* Two-fold or three-fold? – concerning geological time scale of Permian Period // Acta Palaeontol. Sin. 1989. V. 28. № 3. P. 269–282.
- Zhou Z., Glenister B.F., Furnish W.M., Spinoza C.* Multi-episodal extinction and ecological differentiation of Permian ammonoids // Ископаемые цефалоподы: новейшие достижения в их изучении. М.: ПИН РАН, 1999. С. 195–212.

### О бъяснение к таблице I

Фиг. 1. *Paraceltites* sp., экз. ДВГИ, № 1/850: 1а – вид справа, 1б – вид с вентральной стороны, 1в – вид со стороны устья, 1г – вид слева ( $\times 1$ ), 1д – скульптура ( $\times 2$ ); пачка 7, конодонтовая зона *Clarkina orientalis*.

Фиг. 2. *Eoaraxoceras* sp., экз. ДВГИ, № 2/850: 2а – вид справа, 2б – вид слева, 2в – вид с вентральной стороны ( $\times 1$ ); пачка 6, конодонтовая зона *Clarkina leveni*.

Фиг. 3. *Ajaxoceras abarquense* sp. nov., голотип ДВГИ, № 3/850: 3а – вид справа, 3б – вид слева (снимок выполнен до препарирования умбриликуса), ( $\times 1$ ), 3г – умбрикальные бугорки, ( $\times 3$ ), 3д – вид со стороны устья, 3е, 3ж – вид с вентральной стороны ( $\times 1$ ); там же.

Фиг. 4, 5. *Ajaxoceras iranense* sp. nov.; 4 – голотип ДВГИ, № 4/850: 4а – вид слева, 4б – вид с вентральной стороны, 4в – вид со стороны устья,  $\times 1$ , 4г – вид справа, ( $\times 1$ ); 5 – экз. ДВГИ, № 5/850: 5а – вид с вентральной стороны, 5б – вид сбоку, ( $\times 1$ ); там же.

Фиг. 6. *Vedioceras umbonovarum* Ruzhencev, экз. ДВГИ, № 6/850: 6а – вид сбоку, 6б – вид с вентральной стороны ( $\times 1$ ); пачка 7, предположительно конодонтовая зона *Clarkina orientalis*.

Все: Центральный Иран, Абаде; джульфинский регионарус, формация Хамбаст.

## New Species of Dhulfian (Late Permian) Ammonoids from the Hambast Formation of Central Iran

**Yu. D. Zakharov, N. Mousavi Abnavi, M. Yadzi, M. Ghaedi**

New ammonoid species of the genus *Araxoceras* (*A. abarquense* sp. nov. and *A. iranense* sp. nov.) are described from the Early Dzhulfian (Early Wuchiapingian) beds of the Hambast Formation of Central Iran (Abade). The data on the distribution of *Paraceltites* (*Paraceltites* sp.) and *Vedioceras* (*V. umbonovarum* Ruzhencev), for the first time discovered in the Dzhulfian beds of Abade, and of *Eoaraxoceras* are provided. The correlation of the Late Permian assemblages of ammonoids of Iran and Transcaucasia is amended.

*Key words:* new species, Dhulfian, Late Permian, ammonoids, Hambast Formation, Central Iran.

Таблица I

